

## Janbu法に基づく臨界すべり面の決定について 一動的計画法の応用一

徳島大学工学部 正 山 上 拓 男  
同 上 王 植 田 康 宏  
徳島大学大学院 学 の 小 山 正 之

まえがき 円弧すべりを対象とした安全率算定式を用ひて、与えられた斜面上に潜在する臨界すべり面を探求することは極めて容易である。すなわち、円弧の中心と半径を適当に変化させれば、電算機・助りのものになしなく臨界円を決定できることは周知の通りである。ところが非円形すべり面に基づく安全率算定式を用いて安定解析を行わんとすれば、一変して状況は非常に複雑なものとなる。それは仮定すべり面の形状に無限の可能性が存在するからである。<sup>(1)</sup>

我々にとって非円形すべりの理論としてはJanbu法が最も古く深いものであるが、これと関連して最近荒井が非線形計画法における未使用配法の巧みに応用した安定解析法を考案している。本研究もやはりJanbu法を前提として、動的計画法(DP)に基づき荒井とは全く別の観点から臨界すべり面探求手法を提案し、その有用性を論じるものである。

2. DPに基づくJanbu法による斜面安定解析 斜面上の2点A, Bを結ぶ任意の曲線 $\overline{AB}$ に沿って、Janbu法による安全率は次式で定義される:

$$F_s = \frac{1}{\sum W_i \tan \alpha_i} \sum \frac{C_i' \cos \alpha_i + (W_i - U_i \cos \alpha_i) \tan \phi'}{\cos \alpha_i \cdot (1 + \frac{1}{F_s} \tan \alpha_i \cdot \tan \phi')} \quad (1)$$

紙面の都合上、記号の説明は省略する。式(1)を次のように一般表示してお

$$\therefore F_s = \frac{\sum R_i}{\sum T_i} \quad (2) \quad \text{ここで, } R_i = \frac{C_i' \cos \alpha_i + (W_i - U_i \cos \alpha_i) \tan \phi'}{\cos \alpha_i \cdot (1 + \frac{1}{F_s} \tan \alpha_i \cdot \tan \phi')}, T_i = W_i \tan \alpha_i \quad \text{図1 Janbu法による安全率の定義}$$

このとき、新たに変数 $G$ を持ち込んで、 $G = \sum_i (R_i - F_s \cdot T_i)$  (3)と定義すれば、式(2)の $F_s$ を最小にする」とと、式(3)の $G$ を最小にすることとが全く同等であることがわかつていい。つまり、A, B 2点間を結ぶ曲線の選い方に応じて式(2)の $F_s$ の値が変化するが、ある2点A, B間の臨界すべり面はいうまでもなく $F_s$ を最小とするものであり、そのとき $G$ 自身も最小となりていらざりである。理論構成上、式(2)を直接最小化することはできないので、これに代って式(3)の $G$ の最小化を図るのである。以上の議論ではすべり面の両端A, Bをあたかも固定点の如く扱ってきたが、後述するようにDPに基づく限りこの条件は必須なものではない。さて、以下の問題にDPを適用するに当っては、図2に示すように与えられた斜面を適当な数のstageに分割し、さらに各stage上でやはり適当な数のstateを設けなければならぬ。stageに分割する際、次のことに注意する必要がある。それは両端のstage 1と stage  $m+1$ は予想される臨界すべり面の両端よりも外側に設けなければならぬこと、また各stage lineはスライスの側面として利用するので直直でなければならないことである。いま、図3に示すように、任意の引き続く2つのstage  $i$ ,  $i+1$ 上の任意state  $j$ .

および反対に注目し、これら2点を結ぶ軌道 $\gamma$ を可能なすべり面の一端とみなす。このとき、四邊形 $ab\gamma b'$ を1つのスライスとみなす、これに対する $R_i$ と $T_i$ を評価できたりとすれば、この2点間の式(3)に寄与する $G$ の変化(return)  $DG_{i,j}(r, \gamma)$ は  $DG_{i,j}(r, \gamma) = R_i - F_s T_i$  (4)である。ここで第1 stage から点 $(i, j)$ に至る $G$ の最小値を $H_{i,j}(r)$ で表すと、最適性原理からこ

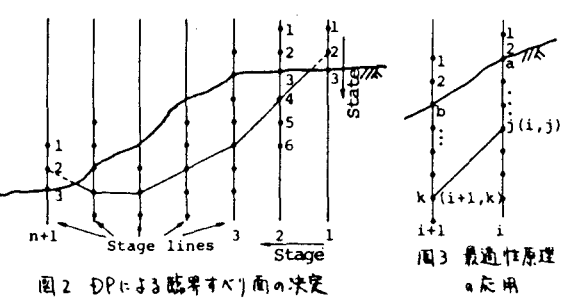
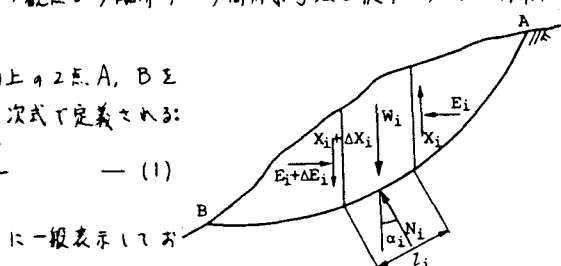


図2 DPによる臨界すべり面の決定

の場合の間数再帰方程式は:  $H_{i+1}(k) = \min_{j=1 \sim i} [H_i(j) + D G_i(j, k)]_{k=1 \sim k_{i+1}}^{i+1}, H_i(j) = 0 \quad - (15)$

と略す。

式(5)をすべての stage, すなはち state に渡って実行すると、最終 stage に到る時点では最初と最後の stage 間で  $G$  を最小にする経路が明らかになつていい。ただし、式(3)なら式(4)の下の値は当初未知であるから、ある仮定値から出発して解が収束するまで反復計算を行わねばならない。

3. 仮想土の導入 state の存在により土を斜面内下りに制限され場合には、適確な臨界すべり面が探索できなくなる事態が生じる。この難点を解消すべく仮想土を導入して。この状況が図4の模式圖に示されている。図4で実線で描かれた部分は実斜面を意味している。もし、これのみで D.P. による探索を行おうとすれば、両端 A, B が固定されたすべり面を探索することになり図中に示されるように、両端が位置の stage 間に出現するすべり面を求ることはできない。この問題を処理するためには、適宜直線で示されたような仮想の斜面を実斜面の上方に追加してやることよい。そして両サイド AC と BD の間で探索を実行すれば、たゞえば折線 EF' の如き臨界すべり面を求めることが可能となる。ここで、仮想土内に軌跡が通過するときは、強制的に  $R_i = T_{i-1} = 0$  とする。軌跡 PQ のように軌跡が仮想土内に存在するときは、強制的に  $R_i = T_{i-1} = 0$  とする。軌跡 PQ のように一部が実斜面内にある場合は、三角形 UVQ を一つのステップとして、これに対する  $R_i$  と  $T_i$  を評価してやる。これによると、仮想土内を通過する軌跡の return は零となり、また一部が実斜面にあり場合には、return は実斜面内での評価されることになり、なんら問題は生じない。そして、求めたべき臨界すべり面は図4の折線 EF' であると解釈するのである。

4. 通用例および結論 本手法の有用性を検証する下に、図6の全応力解析に基づく問題と図7の有効応力解析に基づく問題を採用した。用いた強度実数、单位重量はそれぞれ図中に示した。図8, 9はD.P. により探索された臨界すべり面と最小安全率  $F_0$  を示す。図中にBishop法に基づく結果も併せて示した。CPU time は FA 60M M-360で、図6では10.08秒、図7では11.42秒である。本手法は多層地盤へも容易に適用でき、Janbu 法による安定解析

2.0 m	$c = 1.0 \text{ tf/m}^2$	$\phi = 10.0^\circ$	$\gamma = 1.8 \text{ tf/m}^3$	1	1	1	1
12	11	1	1	1	1	1	1
9	11	13	19	14	19	17	13
13	19	14	19	17	13	11	9
14	19	17	13	11	9	11	13
19	17	13	11	9	11	13	19
10.0 m				4	3	2	1

図6 全応力解析に基づく問題

2.0 m	$c = 1.0 \text{ tf/m}^2$	$\phi = 10.0^\circ$	$\gamma = 1.8 \text{ tf/m}^3$	1	1	1	1	1
12	11	1	1	1	1	1	1	1
9	11	13	19	14	19	17	13	11
11	13	9	14	19	17	13	11	9
13	9	14	19	17	13	11	9	11
19	17	13	11	9	11	13	19	17
10.0 m				4	3	2	1	1

図7 有効応力解析に基づく問題

PP.311~312, 1983

2) Arai, Tagyo:

Soils and Foundations, Vol.25 No.1,

PP.43~51, 1985.

3) 鹿野・片山・

7-792773-7

筑風館, 1973.

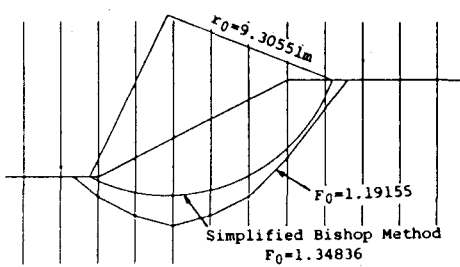


図8 解析結果（全応力解析）

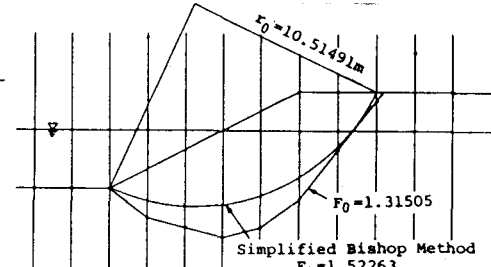


図9 解析結果（有効応力解析）